

Starkniederschlagshöhen und -spenden gemäß KOSTRA-DWD-2010R

Auswertungszeitraum von 1951 - 2010, Januar - Dezember

Rasterfeld: 10035

Zeile: 10

Spalte: 35

Seite: 1/2

| Dauerstufe D | Wiederkehrzeit T | | | | | | | | | | | | | | | | | | |
|--------------|------------------|------|------------|------|------------|------|------------|------|------------|------|------------|------|------------|------|------------|-------|------------|-------|------------|
| | 1 a | | 2 a | | 3 a | | 5 a | | 10 a | | 20 a | | 30 a | | 50 a | | 100 a | | |
| min | Std | mm | l / (s ha) | mm | l / (s ha) | mm | l / (s ha) | mm | l / (s ha) | mm | l / (s ha) | mm | l / (s ha) | mm | l / (s ha) | mm | l / (s ha) | mm | l / (s ha) |
| 5 | | 4,3 | 143,3 | 5,7 | 190,0 | 6,5 | 216,7 | 7,6 | 253,3 | 9,0 | 300,0 | 10,4 | 346,7 | 11,2 | 373,3 | 12,3 | 410,0 | 13,7 | 456,7 |
| 10 | | 6,8 | 113,3 | 8,6 | 143,3 | 9,7 | 161,7 | 11,0 | 183,3 | 12,8 | 213,3 | 14,6 | 243,3 | 15,7 | 261,7 | 17,0 | 283,3 | 18,8 | 313,3 |
| 15 | | 8,5 | 94,4 | 10,6 | 117,8 | 11,8 | 131,1 | 13,3 | 147,8 | 15,4 | 171,1 | 17,5 | 194,4 | 18,7 | 207,8 | 20,2 | 224,4 | 22,3 | 247,8 |
| 20 | | 9,7 | 80,8 | 12,0 | 100,0 | 13,3 | 110,8 | 15,0 | 125,0 | 17,3 | 144,2 | 19,6 | 163,3 | 21,0 | 175,0 | 22,6 | 188,3 | 24,9 | 207,5 |
| 30 | | 11,3 | 62,8 | 13,9 | 77,2 | 15,5 | 86,1 | 17,4 | 96,7 | 20,1 | 111,7 | 22,7 | 126,1 | 24,2 | 134,4 | 26,2 | 145,6 | 28,8 | 160,0 |
| 45 | | 12,7 | 47,0 | 15,7 | 58,1 | 17,5 | 64,8 | 19,7 | 73,0 | 22,8 | 84,4 | 25,8 | 95,6 | 27,6 | 102,2 | 29,8 | 110,4 | 32,9 | 121,9 |
| 60 | | 13,5 | 37,5 | 16,9 | 46,9 | 18,8 | 52,2 | 21,3 | 59,2 | 24,7 | 68,6 | 28,0 | 77,8 | 30,0 | 83,3 | 32,4 | 90,0 | 35,8 | 99,4 |
| 90 | | 15,1 | 28,0 | 18,9 | 35,0 | 21,1 | 39,1 | 23,9 | 44,3 | 27,7 | 51,3 | 31,5 | 58,3 | 33,7 | 62,4 | 36,5 | 67,6 | 40,3 | 74,6 |
| 120 | 2 | 16,3 | 22,6 | 20,4 | 28,3 | 22,9 | 31,8 | 25,9 | 36,0 | 30,1 | 41,8 | 34,3 | 47,6 | 36,7 | 51,0 | 39,8 | 55,3 | 43,9 | 61,0 |
| 180 | 3 | 18,2 | 16,9 | 22,9 | 21,2 | 25,6 | 23,7 | 29,1 | 26,9 | 33,8 | 31,3 | 38,6 | 35,7 | 41,3 | 38,2 | 44,8 | 41,5 | 49,5 | 45,8 |
| 240 | 4 | 19,6 | 13,6 | 24,8 | 17,2 | 27,8 | 19,3 | 31,6 | 21,9 | 36,8 | 25,6 | 41,9 | 29,1 | 44,9 | 31,2 | 48,7 | 33,8 | 53,9 | 37,4 |
| 360 | 6 | 21,9 | 10,1 | 27,8 | 12,9 | 31,2 | 14,4 | 35,5 | 16,4 | 41,3 | 19,1 | 47,2 | 21,9 | 50,6 | 23,4 | 54,9 | 25,4 | 60,7 | 28,1 |
| 540 | 9 | 24,5 | 7,6 | 31,1 | 9,6 | 35,0 | 10,8 | 39,8 | 12,3 | 46,5 | 14,4 | 53,1 | 16,4 | 57,0 | 17,6 | 61,8 | 19,1 | 68,5 | 21,1 |
| 720 | 12 | 26,4 | 6,1 | 33,7 | 7,8 | 37,9 | 8,8 | 43,3 | 10,0 | 50,5 | 11,7 | 57,7 | 13,4 | 62,0 | 14,4 | 67,3 | 15,6 | 74,5 | 17,2 |
| 1080 | 18 | 29,5 | 4,6 | 37,7 | 5,8 | 42,5 | 6,6 | 48,6 | 7,5 | 56,8 | 8,8 | 65,0 | 10,0 | 69,8 | 10,8 | 75,8 | 11,7 | 84,0 | 13,0 |
| 1440 | 24 | 31,9 | 3,7 | 40,9 | 4,7 | 46,1 | 5,3 | 52,7 | 6,1 | 61,7 | 7,1 | 70,7 | 8,2 | 75,9 | 8,8 | 82,5 | 9,5 | 91,5 | 10,6 |
| 2880 | 48 | 41,6 | 2,4 | 50,9 | 2,9 | 56,4 | 3,3 | 63,3 | 3,7 | 72,6 | 4,2 | 81,9 | 4,7 | 87,4 | 5,1 | 94,3 | 5,5 | 103,6 | 6,0 |
| 4320 | 72 | 48,6 | 1,9 | 58,1 | 2,2 | 63,7 | 2,5 | 70,8 | 2,7 | 80,3 | 3,1 | 89,8 | 3,5 | 95,4 | 3,7 | 102,5 | 4,0 | 112,0 | 4,3 |

Angaben in mm: Bemessungsniederschlagswerte h(n)

Angaben in l / (s ha): Regenspende R(n) mit $R(n) = h(n) \times 1,666667 / D[\text{min}]$

Toleranzbereiche:

+/- 10 % für $1 \text{ a} \leq T \leq 5 \text{ a}$

+/- 15 % für $5 \text{ a} < T \leq 50 \text{ a}$

+/- 20 % für $50 \text{ a} < T \leq 100 \text{ a}$

Datenbasis: KOSTRA-DWD-2010R des Deutschen Wetterdienstes. Die Regenspende wurde auf Basis des Bemessungsniederschlags zur jeweiligen Andauer berechnet.

Für die Richtigkeit und Aktualität der Angaben wird keine Gewähr übernommen. Erstellt 07/2022.

Starkniederschlagshöhen und -spenden gemäß KOSTRA-DWD-2010R

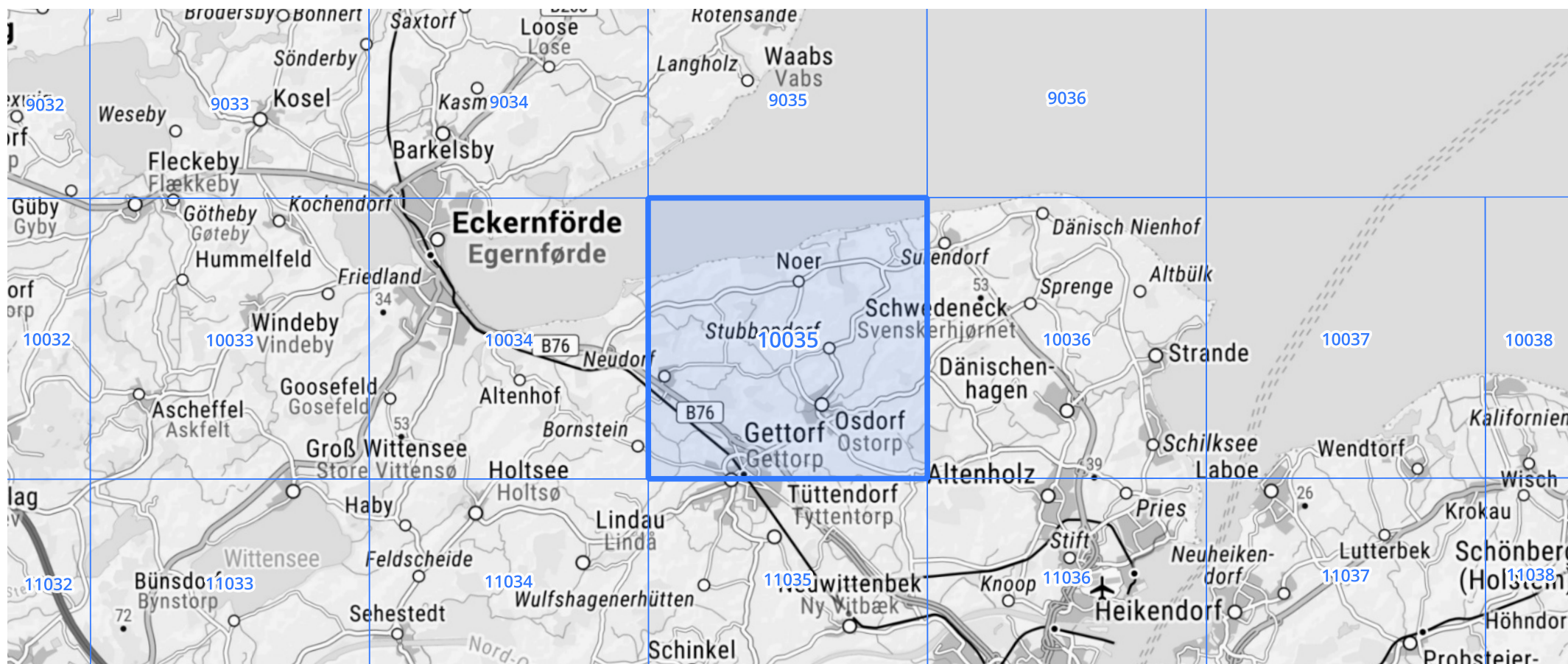
Auswertungszeitraum von 1951 - 2010, Januar - Dezember

Rasterfeld: 10035

Zeile: 10

Spalte: 35

Seite: 2/2



Quelle Rasterdaten: KOSTRA-DWD-2010R des Deutschen Wetterdienstes.

Kartendarstellung: © Bundesamt für Kartographie und Geodäsie (2022), Datenquellen: https://sgx.geodatenzentrum.de/web_public/gdz/datenquellen/Datenquellen_TopPlusOpen.html

Für die Richtigkeit und Aktualität der Angaben wird keine Gewähr übernommen. Erstellt 07/2022.